

## Ледовые условия

Суровость зимних условий в регионе можно проследить по поведению такой характеристики, как ледовитость моря (рис. 6-1–6-3). Графики ледовитости составлены на основе средней декадной ледовитости моря в % относительно общей площади моря для Охотского и Берингова морей и относительно площади предельного распространения льда для Японского моря [Якунин, 1987, Плотников, 2002]. При характеристике ледовых условий используется классификация: умеренная ( $\pm\sigma$  от нормы), большая (больше нормы на  $\sigma$ ) и малая (меньше нормы на  $\sigma$ ) ледовитость, определяется относительно нормы 1971–2000 гг., где  $\sigma$  – среднее квадратическое отклонение.

### Японское море

Первая половина ледового сезона 2016–2017 гг. до первой декады февраля включительно для акватории Японского моря была умеренной. Вторая половина – мягкой, дефицит ледовитости во второй декаде февраля и в марте-начале апреля составлял 11–13 % (декадные аномалии  $-1,2\sigma$ – $-1,4\sigma$ ). Ледовитость моря нарастала в течение декабря-января, максимум пришелся на первую декаду февраля (41 % от площади предельного распространения льда). Во второй декаде февраля западный циклон способствовал значительному разрушению ледяного покрова, затем лёд восстановился, отмечался вторичный максимум ледовитости – 37 % относительно площади предельного распространения льда. В марте наблюдалось монотонное уменьшение площади льда, в апреле льдом было покрыто всего 4–2 % относительно площади предельного распространения льда (рис. 6-1). В мае лёд почти отсутствовал.

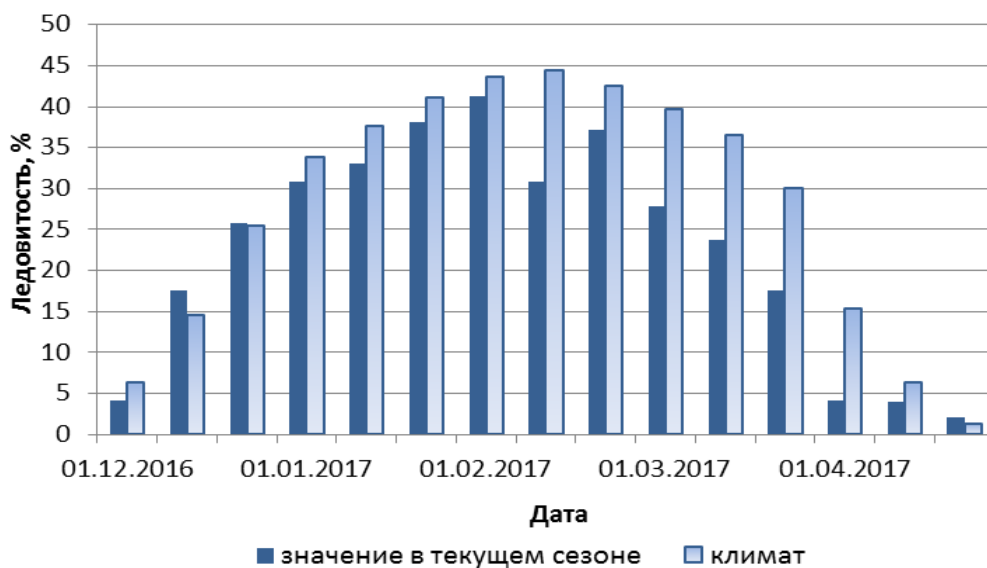


Рис. 6-1 Ледовитость Японского по декадам за сезон 2016–2017 гг.  
Климатические значения ледовитости получены за период 1971–2000 гг.

### Охотское море

В начале ледовый сезон 2016–2017 гг. развивался по условиям, близким к средним многолетним, что продолжалось вплоть до первой декады февраля. Отклонения от нормы в этот период не превышали  $|0,9\sigma|$ . Затем, начиная с середины февраля, льда было меньше, а в период со второй декады марта по третью декаду апреля – значительно меньше нормы (дефицит достигал  $2,2$ – $3,5\sigma$ ). Максимальная ледовитость была достигнута в первой декаде

**Обзор гидрометеорологических процессов и оценки текущего состояния  
дальневосточных морей за 2017 год  
Ледовые условия**

февраля, льдом было покрыто 62 % площади моря, что не соответствует норме по срокам и значению площади, занятой льдом. На протяжении последующих трех декад площадь льда менялась незначительно. Затем, примерно с середины марта, началось разрушение ледяного покрова, площадь льда сокращалась на 3–9 % от декады к декаде. В конце мая льдом было покрыто 5 % площади моря (рис. 6-2), что меньше обычного на 8 % (на  $1,2\sigma$ ).

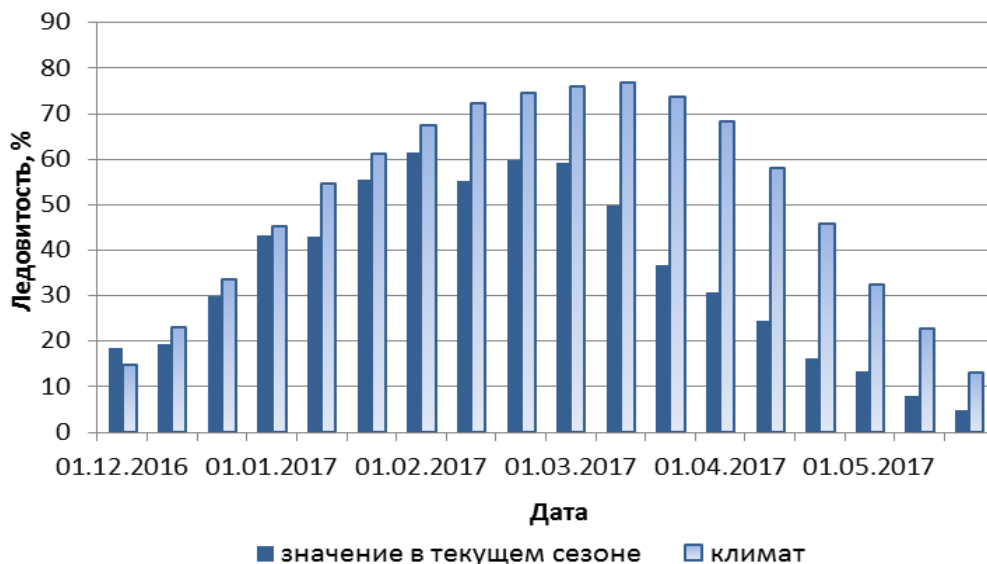


Рис. 6-2 Ледовитость Охотского моря по декадам за сезон 2016–2017 гг. Климатические значения ледовитости получены за период 1971–2000 гг.

### **Берингово море**

Ледовые условия Берингова моря сезона 2016–2017 гг. в целом можно считать умеренными преимущественно с небольшим дефицитом площади льда в течение всех месяцев; конец сезона, начиная с третьей декады апреля, был мягким (отклонения от нормы превышали  $\sigma$ ). Максимум площади льда пришелся на последнюю декаду февраля, составил 34 % от общей площади моря, что по времени и площадным характеристикам близко к норме. Со второй декады апреля началось разрушение ледяного покрова, особенно сильное во второй декаде мая; площадь льда сокращалась на 3–11 % от декады к декаде. В конце мая льдом было покрыто всего 2 % площади моря (рис. 6-3), что меньше обычного на 10 % (на  $1,4\sigma$ ).

**Обзор гидрометеорологических процессов и оценки текущего состояния  
дальневосточных морей за 2017 год  
Ледовые условия**

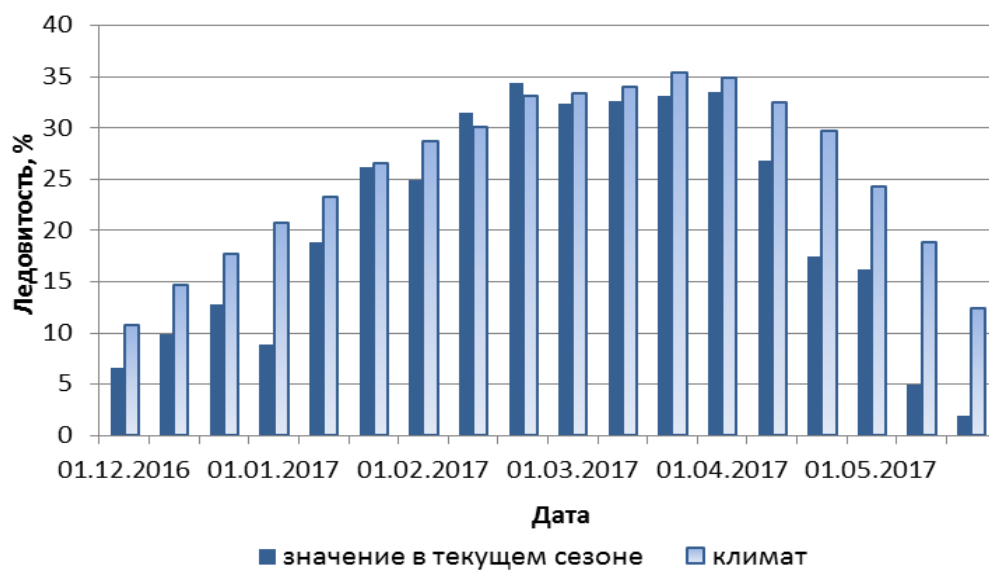


Рис. 6-3 Ледовитость Берингова моря по декадам за сезон 2016–2017 гг. Климатические значения ледовитости получены за период 1971–2000 гг.